

Nanoindentace a měření vlastností v malém objemu

prof. Ing. Jiří Němeček, Ph.D., DSc.

ČVUT Praha, Fakulta stavební



Tvorba výukových materiálů byla podpořena projektem OPVVV, Rozvoj výzkumně orientovaného studijního programu Fyzikální a materiálové inženýrství, CZ.02.2.69/0.0/0.0/16_018/0002274 (2017-18)

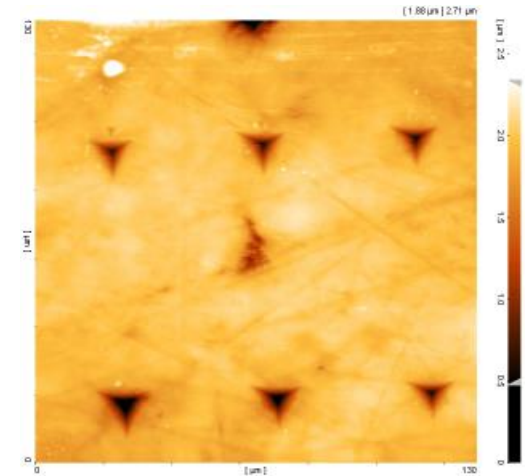
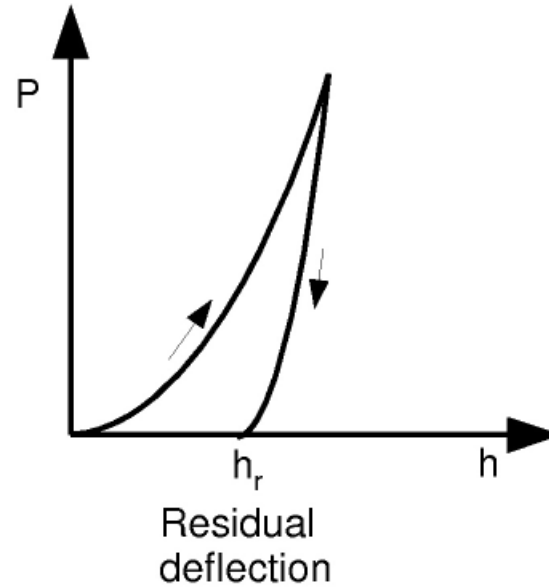
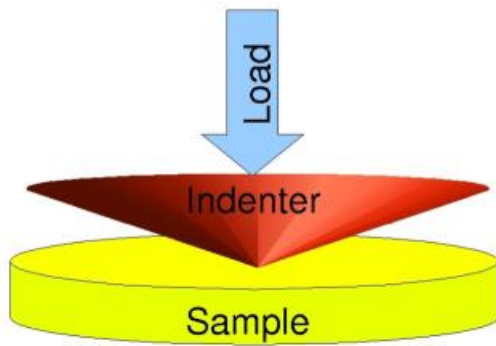


EVROPSKÁ UNIE
Evropské strukturální a investiční fondy
Operační program Výzkum, vývoj a vzdělávání

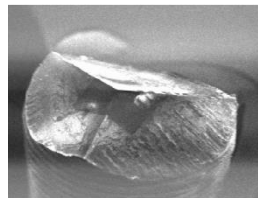


Princip nanoindentace

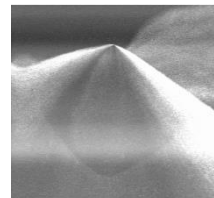
- Zatlačení malého (většinou diamantového) hrotu do materiálu a vytvoření otisku



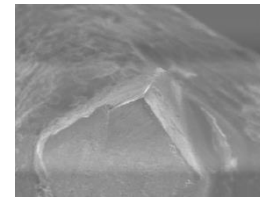
Indentation probes



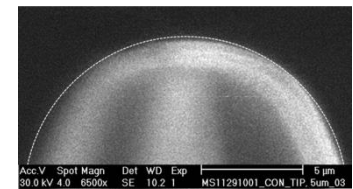
Berkovich



Conospherical



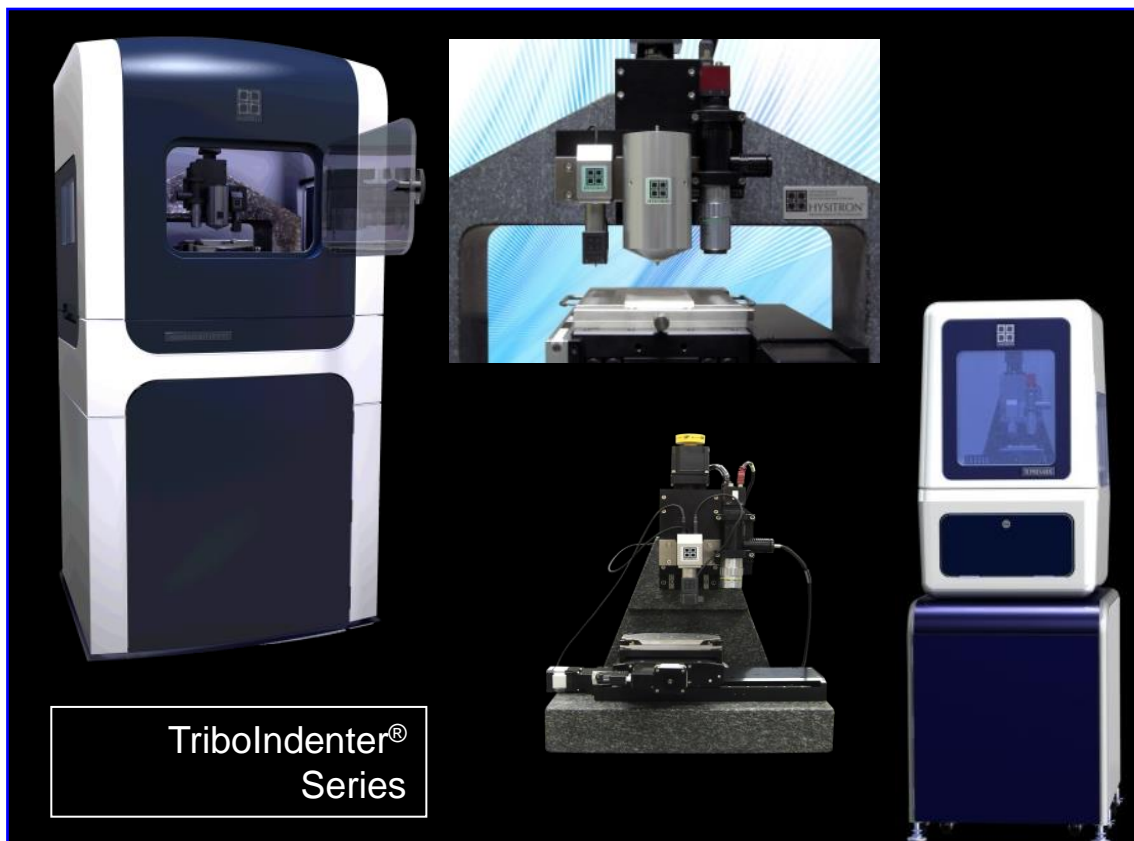
Cube Corner



Sphere

- Nanoindentace je výkonná technika používaná pro vyhodnocení mechanických vlastností v **nano / mikro-měřítku**.
- Používá se pro získání parametrů materiálu, jako je **modul pružnosti, tvrdost, mez kluzu** nebo **viskózní parametry** z experimentálních dat zatížení indenteru a hloubky penetrace
- Zatěžovací síly jsou obvykle v rozmezí **μN - mN** a hloubka v řádu **nanometrů**
- Pro vytváření otisků do materiálu lze použít **různé druhy hrotů**
- Mohou být stanoveny vlastnosti **velmi malých objemů** materiálu v řádu několika desítek nanometrů pod špičkou nanoindenteru

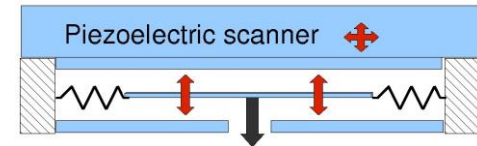
Hysitron



picoindenter



- In-situ SPM imaging
- nanoDMA 0-300Hz
- Modulus mapping
- Scratch test
- Pyramidal indentation (Berkovich)
- Load range 100nN- 30mN (@3nN)
- Z-resolution 0.2 nm
- Load/depth control
- Active anti-vibration



5 μm SPM image shows nanoindentation, nanoscratch, and nanowear tests; image also captured using same probe used for testing (*in-situ* SPM imaging)

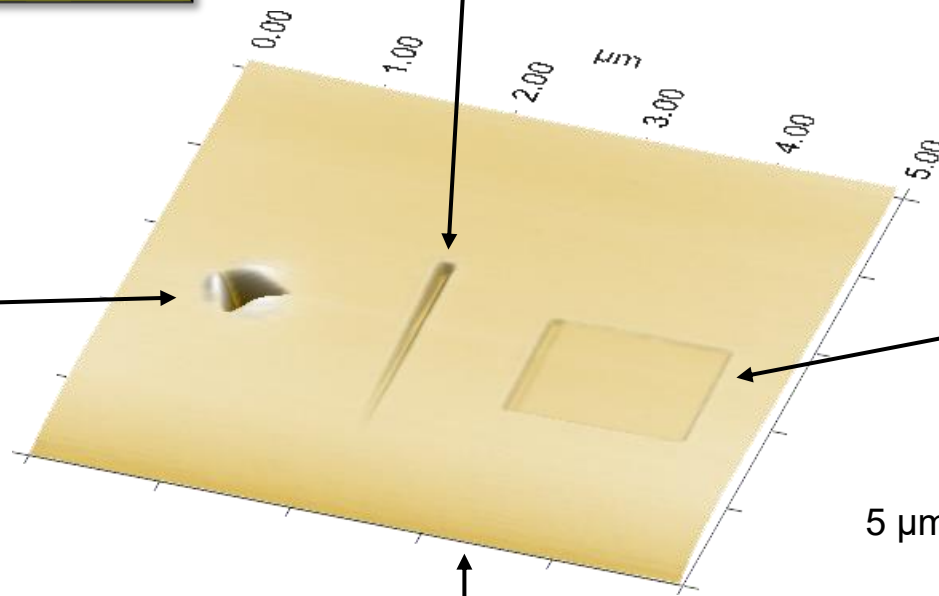
Nanoscratch

Nanoindentation

Nanowear

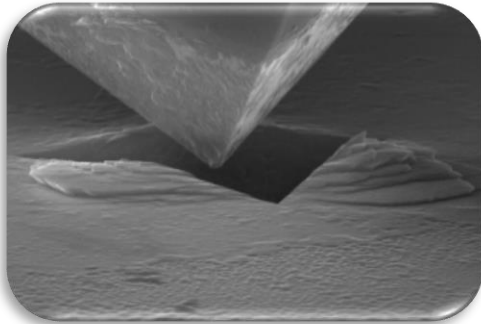
Indenter-based SPM

5 μm area

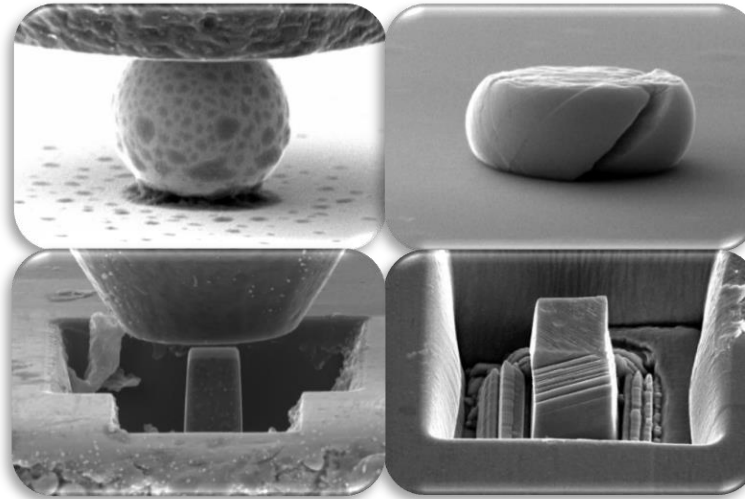


Možnosti indentačních technik

Nanoindentation



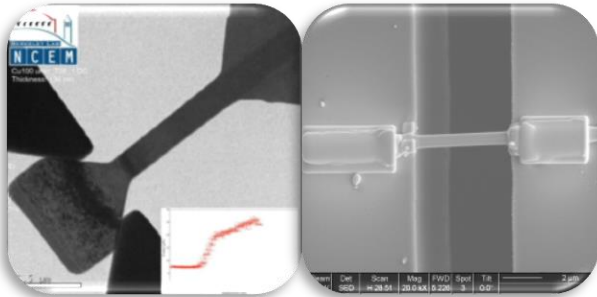
Compression



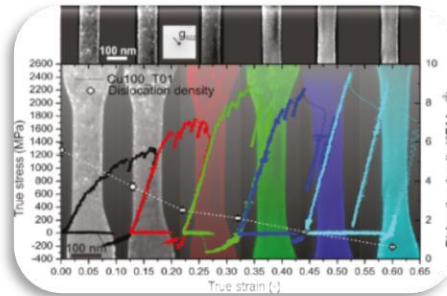
Bend



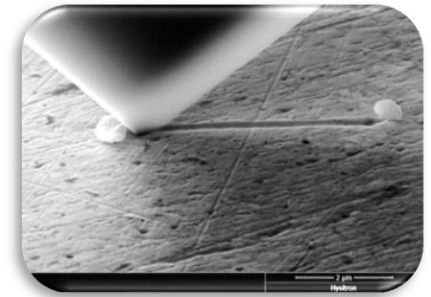
Tension

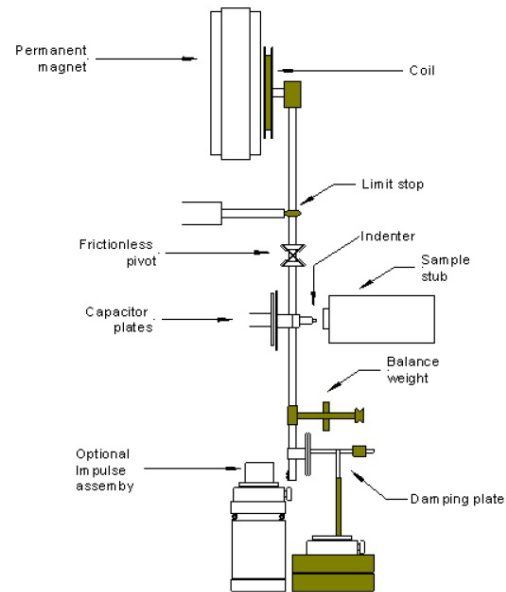
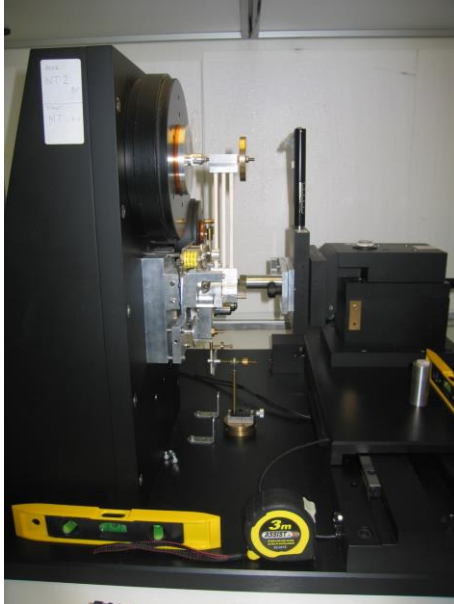


Fatigue



Tribology





- Pendulum system; Temperature and humidity chamber
- Spherical/Pyramidal indentation (Berkovich)
- Zoom microscope 40x
- High load 0.1-20 N and low load head 0.1-500 mN
- High temperature stage 500°C



- High-end climatic chamber
- Pyramidal indenter (Berkovich)
- Optical microscope 5x, 100x - Nikon (4000x CCD camera)
- Load range 0.1-500 mN
- Depth resolution 0.5 nm
- Reference-ring system
- Cyclic loading
- Static and dynamic testing (sinus 0-20Hz)

Elastický kontakt

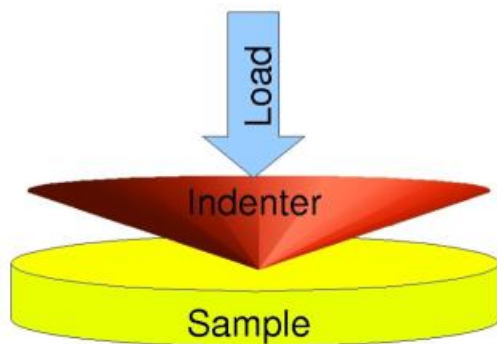
Problém **elastického kontaktu** byl řešen již v historii:

1882 - Hertz: řešení elastického kontaktu dvou koulí s různými poloměry

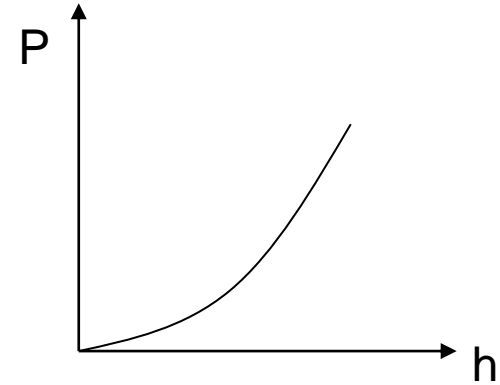
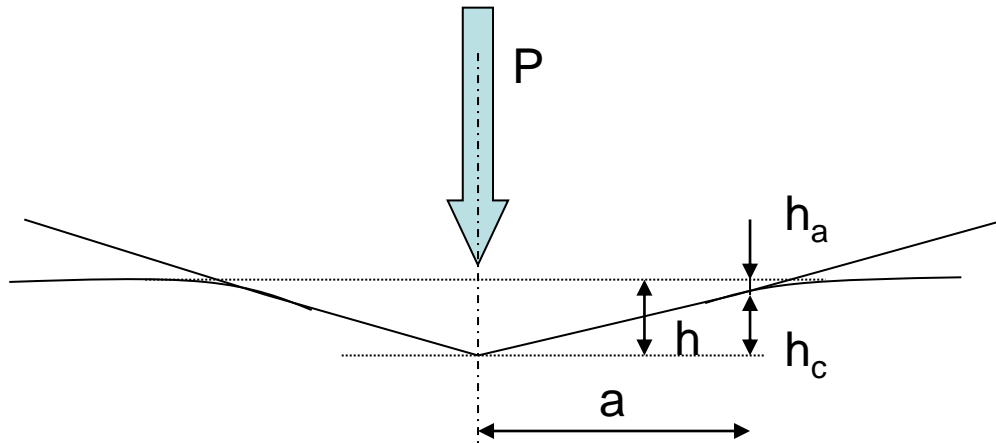
1885 - Boussinesq: vyřešené namáhání a posunutí v pružném tělese pomocí tuhého axisymetrického indentoru

1939,1952- Love: kontakt kuželu a plochy

1965 - Sneddon: obecný vztah mezi zatížením, posunem a kontaktní plochou pro jakýkoliv hrot, který je popsán jako rotačně souměrné těleso
(Hertz a Love jsou speciální případy)



I.N. Sneddon, *The relation between load and penetration in the axisymmetric Boussinesq problem for a punch of arbitrary profile*, Int. J. Eng. Sci., 3 (1965), pp. 47-57



Obecný Sneddonův vztah

$$P = \kappa h^m$$

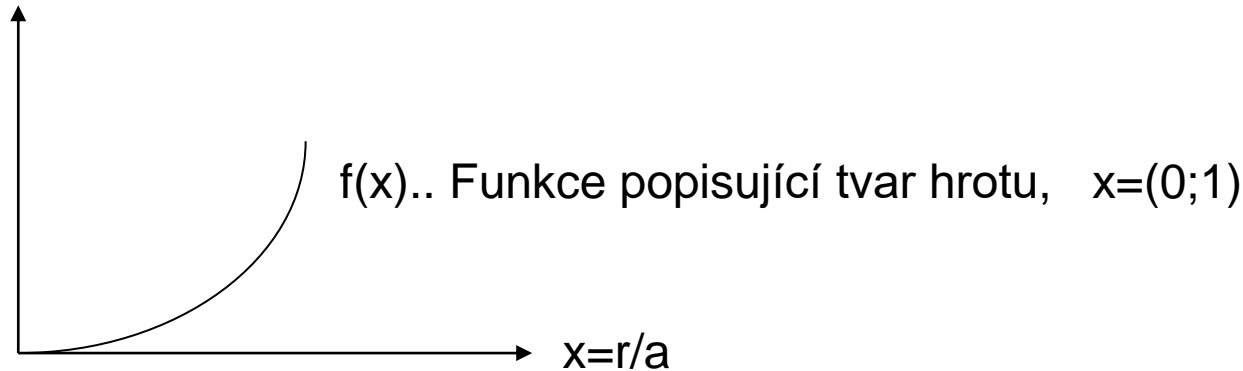
P.. Síla

h... hloubka

m.. parametr tvaru (m =1 pro válec, 2 pro kužel, 1.5 pro kouli)

κ ...konstanta

Řešení deformace pružného poloprostoru



Rovnice posunů v závislosti na geometrii kontaktu (tvar hrotu)

$$h = \int_0^1 \frac{f'(x)}{\sqrt{1-x^2}} dx$$

Sneddonova rovnice pro kontaktní sílu

$$P = 2E_r a \int_0^1 \frac{f'(x)x^2}{\sqrt{1-x^2}} dx$$

Ekvivalentní poddajnost dvou pružných těles (Hertzovo řešení)

$$\frac{1}{E_r} = \frac{(1 - \nu^2)}{E} + \frac{(1 - \nu_i^2)}{E_i}$$

E_r ..redukovaný modul

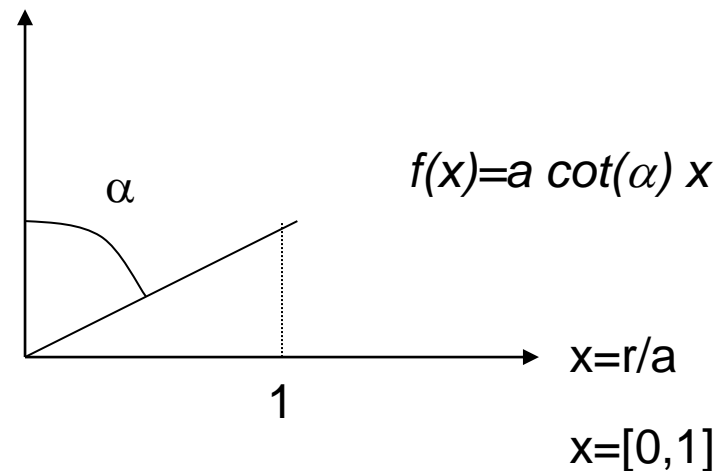
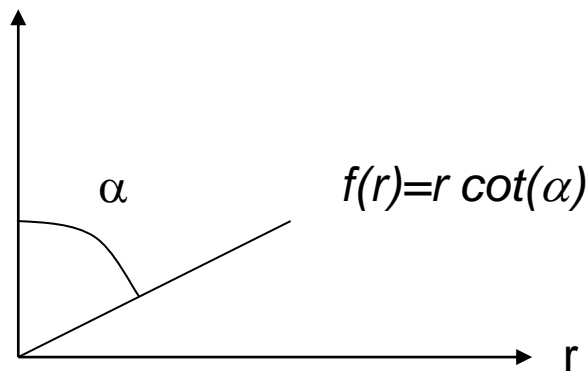
E, ν ...charakteristiky indentovaného tělesa

E_i, ν_i ... charakteristiky hrotu

Pro dokonale tuhý hrot $E_i = \infty$

$$\frac{1}{E_r} = \frac{(1 - \nu^2)}{E}$$

Kontakt kuželu s plochou



$$f'(x) = a \cot(\alpha)$$

$$h = \int_0^1 \frac{f'(x)}{\sqrt{1-x^2}} dx = a \cot(\alpha) \int_0^1 \frac{1}{\sqrt{1-x^2}} dx = a \cot(\alpha) [\arcsin(x)]_0^1$$

$$h = \frac{\pi}{2} a \cot(\alpha)$$

Kontaktní hloubka

$$h_c = f(x)|_{x=1} = \operatorname{acot}(\alpha) = \frac{2}{\pi}h = 0.64h \quad (\text{nezávislá na } P)$$

$$h_a = h - h_c = \frac{(\pi - 2)}{\pi}h$$

Vztah pro kontaktní sílu

$$P = 2E_r a \int_0^1 \frac{f'(x)x^2}{\sqrt{1-x^2}} dx = 2E_r a^2 \operatorname{cot}(\alpha) \int_0^1 \frac{x^2}{\sqrt{1-x^2}} dx$$

$$P = \frac{2}{\pi} E_r \tan(\alpha) h^2$$

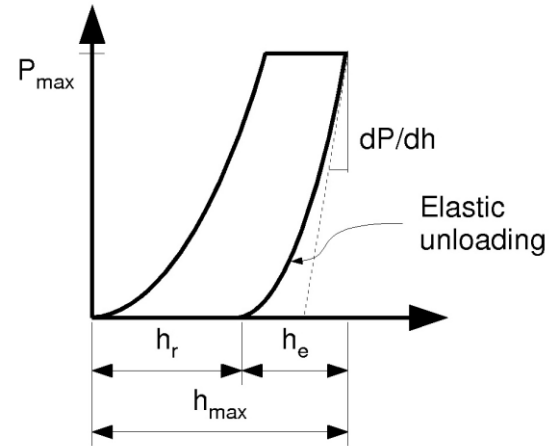
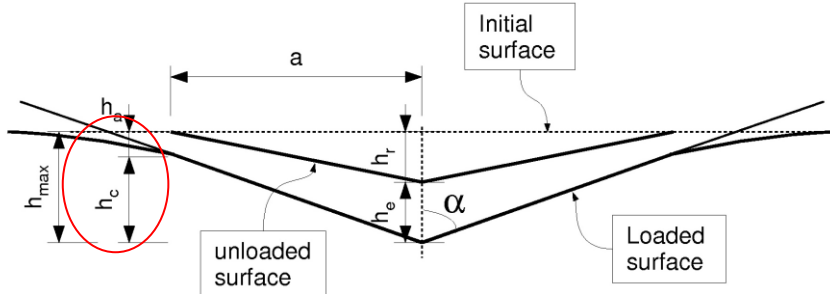
Elastická tuhost

$$S = \frac{dP}{dh} = \frac{4}{\pi} E_r \tan(\alpha) h = 2E_r a = 2E_r \frac{\sqrt{A(h_c)}}{\sqrt{\pi}}$$

$$A(h_c) = \pi a^2$$

$$P = \frac{2}{\pi} \frac{\pi}{4} S h = \frac{S h}{2}$$

Oliver-Pharr method



Elasto-plastic contact

Elastic only at unloading

Power law fit of unloading curve $P = \kappa(h - h_r)^m$

Kontakní hloubka $h_c = h_{max} - h_a$



$$h_a = \frac{(\pi - 2)}{\pi} h_e = \frac{(\pi - 2)}{\pi} (h - h_r)$$

From Sneddon $(h - h_r) = 2\frac{P}{S}$



$$h_a = \frac{(\pi - 2)}{\pi}(h - h_r) = \frac{(\pi - 2)}{\pi}2\frac{P}{S} = \varepsilon\frac{P}{S}$$

$$\varepsilon = \frac{2}{\pi}(\pi - 2)$$

Experimentálně měřené hodnoty: P_{max} , h_{max} , S

Materiálové charakteristiky

Tvrdot (hardness, H)... hodnota maximálního středního kontaktního tlaku

$$H = \frac{P_{max}}{A(h_c)}$$

Kontaktní hloubka

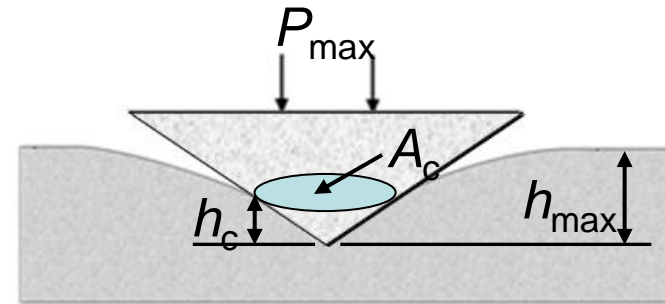
$$h_c = h_{max} - h_a = h_{max} - \varepsilon \frac{P}{S}$$

Redukovaný modul

$$E_r = \frac{S\sqrt{\pi}}{2\sqrt{A(h_c)}}$$

Youngův modul pružnosti

$$\frac{1}{E_r} = \frac{(1 - \nu^2)}{E} + \frac{(1 - \nu_i^2)}{E_i}$$



Další geometrie hrotu

- Kužel $\varepsilon = 0.7268$
- Válec $\varepsilon = 1$
- Paraboloid $\varepsilon = 0.75$

Nerotační tvary

- Berkovich $\varepsilon = 0.75$

Korekce na nerotační tvar

Kruh $\beta = 1$

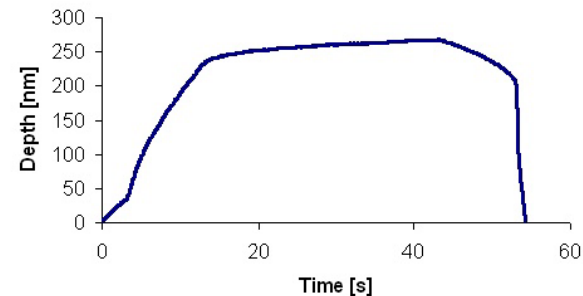
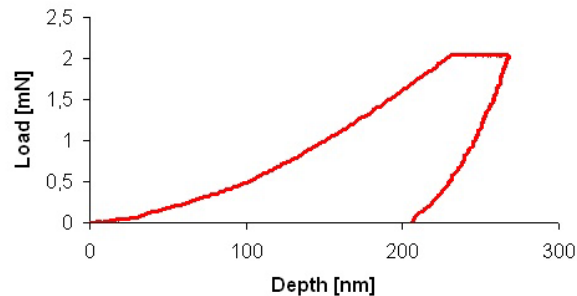
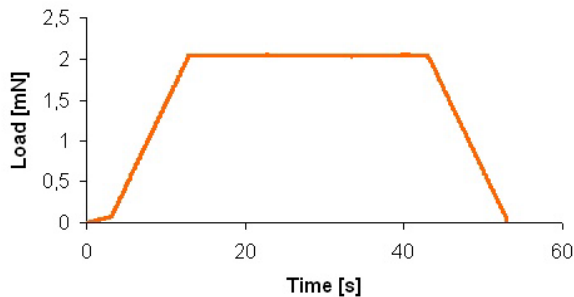
Trojúhelník (Berkovich, cube corner) $\beta = 1.034$

Čtverec (Vickers) $\beta = 1.012$

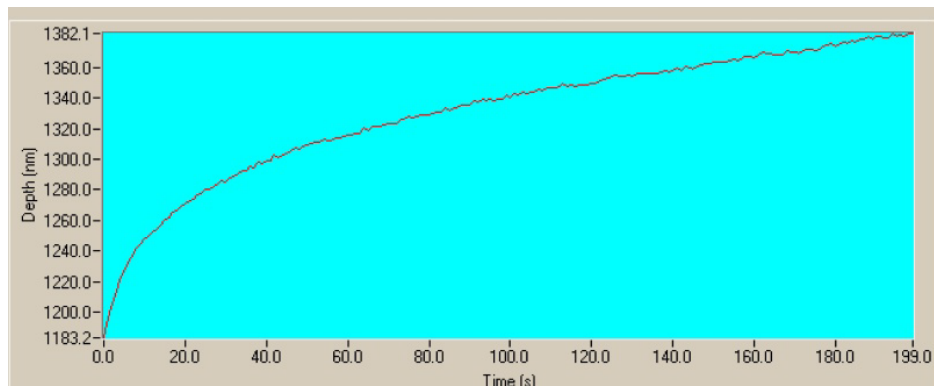
$$E_r = \frac{S\sqrt{\pi}}{2\beta\sqrt{A(h_c)}}$$

R.B. King, *Elastic analysis of some punch problems for a layered medium*
Int. J. Solids Struct., 23 (1987), pp. 1657-1664

- Mnoho materiálů (plasty, kovy, dřevo, beton atd.) vykazuje časově závislé chování při zatížení, nazývané **dotvarování (creep)**.
- Creep působí během celé historie zatěžování.
- Projevuje se hlavně během fáze držení zatížení (holding) a může být pozorována také v části odtížení křivky P-h
- Standardní elastické parametry, jako je modul pružnosti může být ovlivněn dotvarováním, protože se projeví na sklonu S křivky P-h



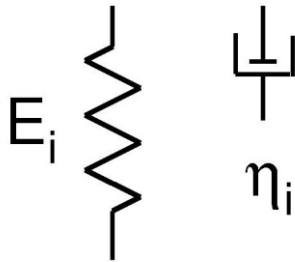
- Nejčastějším způsobem, jak hodnotit dotvarování, je uplatnění konstantního zatížení po určitou dobu (čas držení).
- Výslednou křivku deformace lze analyzovat pomocí různých teorií, jako je např. **viskoelastická**.



Viscoelastický materiál lze charakterizovat dvěma základními prvky:

- pružina a
- tlumič

Každý prvek je popsán materiálovou konstantou: **modul pružnosti E** a **viskozitou η**

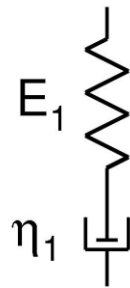


Síla v pružině $F = Eu(t)$
Napětí v pružině $\sigma = E\varepsilon(t)$

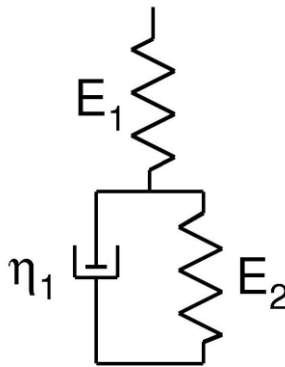
Síla v tlumiči je úměrná rychlosti výchylky $F = \eta\dot{u}(t)$

Napětí v tlumiči je úměrné rychlosti deformace $\sigma = \eta\dot{\varepsilon}(t)$

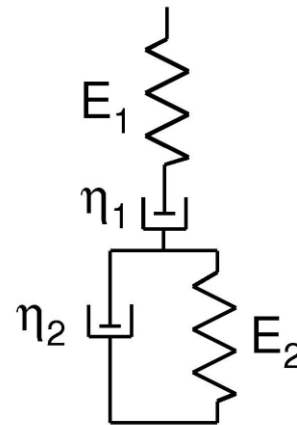
Chování materiálu může být popsáno dvěma a více prvky spojených sériově nebo paralelně.
Např.



Maxwell



Kelvin-Voigt



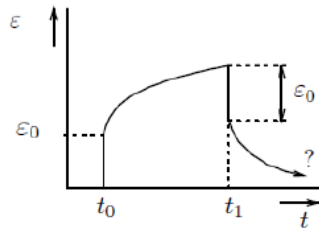
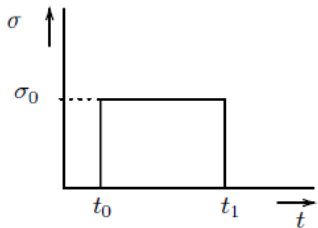
Maxwell-Kelvin-Voigt
(Burgers)

Boltzman integral pro strain a stress

$$\epsilon(t) = \int_{\tau=t_0}^t J(t-\tau) \frac{d\sigma(\tau)}{d\tau} d\tau$$

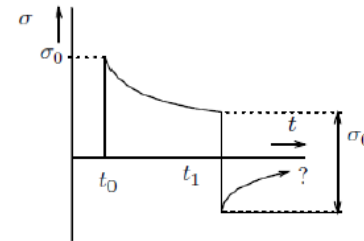
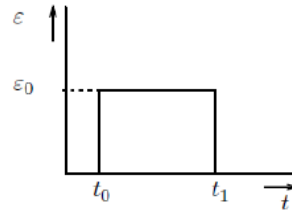
$$\sigma(t) = \int_{\tau=t_0}^t R(t-\tau) \frac{d\epsilon(\tau)}{d\tau} d\tau$$

Step loads



(a)

$$\epsilon(t) = \sigma_0 J(t)$$



(b)

$$\sigma(t) = \epsilon_0 R(t)$$

Maxwell



$$\epsilon(t) = \epsilon_E + \epsilon_\eta$$

$$\dot{\epsilon}(t) = \frac{\dot{\sigma}(t)}{E} + \frac{\sigma(t)}{\eta}$$

$$\sigma(t) = \sigma_0 H(t, 0)$$

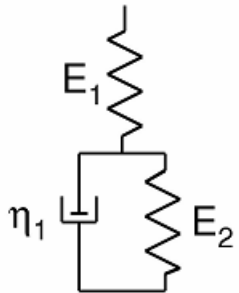
$$\dot{\sigma}(t) = \sigma_0 \delta(t, 0)$$

$$\dot{\epsilon}(t) = \frac{\sigma_0}{E} \delta(t, 0) + \frac{\sigma_0}{\eta}$$

$$\epsilon(t) = \frac{\sigma_0}{E} H(t, 0) + \frac{\sigma_0}{\eta} t = \sigma_0 \left(\frac{1}{E} + \frac{t}{\eta} \right) = \sigma_0 J(t)$$

Pro kónický hrot $h^2(t) = \frac{\pi}{2} P_0 \cot \alpha \left(\frac{1}{E_1} + \frac{1}{\eta_1} t \right)$

Kelvin-Voigt



(z podmínky kompatibility)

$$E_1 E_2 \epsilon + E_1 \eta_1 \dot{\epsilon} = (E_1 + E_2) \sigma + \eta_1 \dot{\sigma}$$

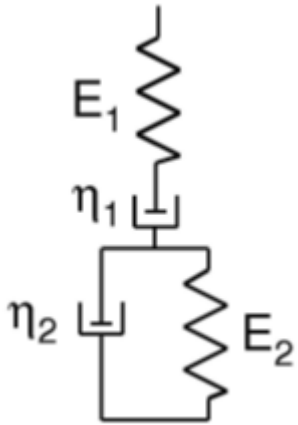


$$\epsilon = \sigma_0 \left[\frac{1}{E_1} + \frac{1}{E_2} \left(1 - e^{-t \frac{E_2}{\eta_1}} \right) \right]$$

Pro kónický hrot

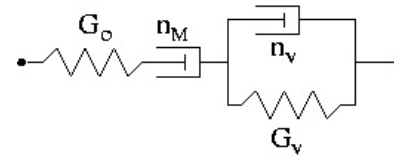
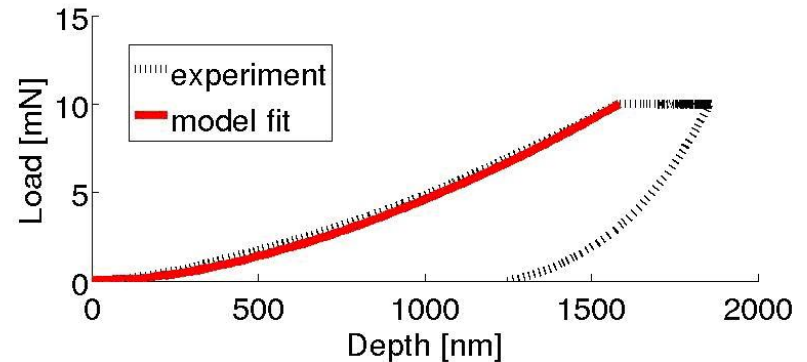
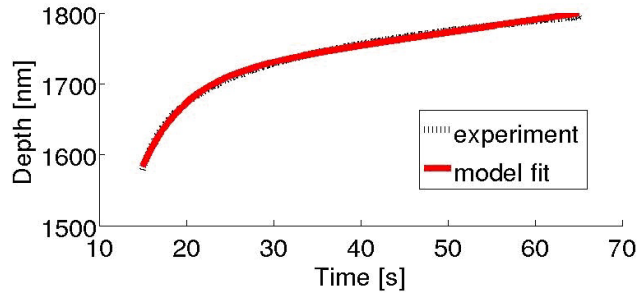
$$h^2(t) = \frac{\pi}{2} P_0 \cot \alpha \left(\frac{1}{E_1} + \frac{1}{E_2} \left(1 - e^{-t \frac{E_2}{\eta_1}} \right) \right)$$

Maxwell-Kelvin-Voigt
(Burgers)



Pro kónický hrot

$$h^2(t) = \frac{\pi}{2} P_0 \cot \alpha \left(\frac{1}{E_1} + \frac{1}{E_2} \left(1 - e^{-t \frac{E_2}{\eta_2}} \right) + \frac{1}{\eta_1} t \right)$$



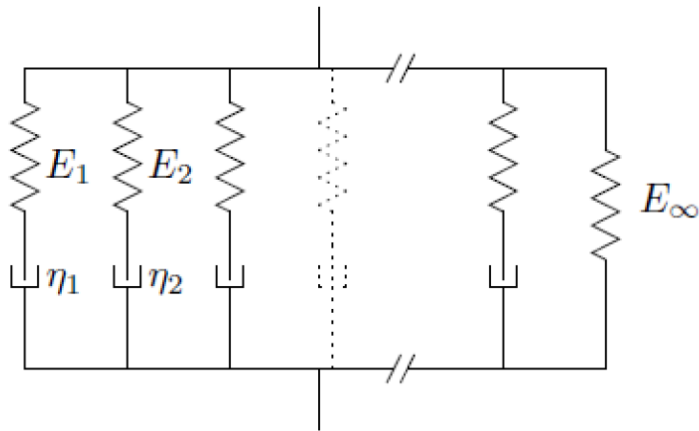
Příklad:

- PMMA
- Burgers model
- lichoběžníkový tvar zatížení se třemi segmenty (15, 50, 15 s)
- Maximální použitá síla byla $P = 10$ mN.

Tab. 1: Calculated parameters assuming Poisson's ratio = 0.32.

Indent No.	G_0 [GPa]	η_M [GPa.s ⁻¹]	η_V [GPa.s ⁻¹]	G_V [GPa]
01	0.95	280.11	8.64	1.50
02	1.52	225.39	7.64	1.31
03	1.19	260.24	7.31	1.37
04	1.12	225.63	5.60	1.10
05	1.52	240.07	7.30	1.27
06	1.22	286.48	10.51	1.66
Mean	1.25	252.99	7.83	1.37
St. dev.	0.23	26.78	1.64	0.20

Generalizovaný Maxwell model

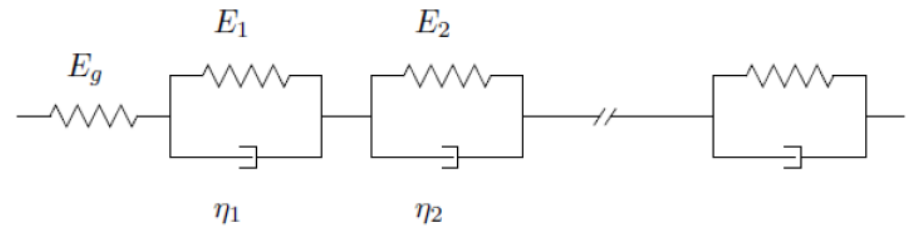


$$R(t) = E_{\infty} + \sum E_i e^{-\frac{t}{\tau_i}}$$

$$\tau_i = \frac{\eta_i}{E_i}$$

Pro kužel
a
a step load

Generalizovaný Kelvin model



$$J(t) = \frac{1}{E_g} + \sum \frac{1}{E_i} \left(1 - e^{-\frac{t}{\tau_i}}\right)$$

$$\tau_i = \frac{\eta_i}{E_i}$$

$$J_g = \frac{1}{E_g}$$

$$J_i = \frac{1}{E_i}$$

$$h^2(t) = \frac{\pi(1-\nu^2)}{2\tan\alpha} \int_0^{\infty} J(t-\tau) \frac{dP(\tau)}{d\tau} d\tau$$

$$h^2(t) = \frac{\pi(1-\nu^2)}{2\tan\alpha} P_{max} \left(\frac{1}{E_{\infty}} + \sum \frac{1}{E_i} \left(1 - e^{-\frac{t}{\tau_i}}\right) \right)$$